

УДК 539.219.3

©1993

ГЕЛИЕВАЯ ДЕФЕКТОСКОПИЯ И ВЗАИМОДЕЙСТВИЕ ГЕЛИЯ С ИОНАМИ КРИСТАЛЛОВ ФТОРИДА ЛИТИЯ

А.Я.Купряжкин, А.Ю.Куркин

Методом гелиевой дефектоскопии определена температурная зависимость концентрации анионных вакансий в LiF

$$c^* = (1.22_{-0.78}^{1.98}) \cdot 10^{21} \exp \left\{ -\frac{(1.15 \pm 0.08) \text{эВ}}{kT} \right\}, \text{ см}^{-3}.$$

Показано, что полученное в работе аномально низкое (-0.32 эВ) значение энергии взаимодействия гелия с исследованными кристаллами обусловлено химическим взаимодействием атома гелия с ближайшим окружением катионов лития с энергией -0.45 эВ. Проведено сравнение результатов работы с экспериментальными и теоретическими данными других авторов.

Ограниченные возможности существующих методик определения концентрации собственных точечных дефектов в твердых телах предполагают разработку новых независимых методов получения их характеристик. В работах [1-3] измерение растворимости гелия в «примесных» анионных вакансиях использовано для определения концентрации кислорода [1,2] и лития [3] в кристаллах CaF₂. Представляет интерес исследовать возможности метода гелиевой дефектоскопии для определения характеристик собственных дефектов в кристаллах LiF. Самостоятельный интерес представляет определение энергии и характера взаимодействия гелия с ионами в указанных кристаллах в связи с зарегистрированными ранее аномально низкими значениями энергии взаимодействия гелия с катионами кальция в CaF₂ [4].

Идея метода гелиевой дефектоскопии основана на исследовании поведения растворимости гелия в дефектных кристаллах в зависимости от температуры и давления насыщения образца газом. Так, из рассмотрения условий равновесия в системе газ-несовершенный кристалл следует

$$c = \sum_i \frac{L c_i^* P \exp\{S_i/k\} \exp\left\{-\frac{E_i}{kT}\right\}}{1 + L P \exp\{S_i/k\} \exp\left\{-\frac{E_i}{kT}\right\}}, \quad (1)$$

где $c_i^* S_i E_i$ — концентрация позиций, энтропия и энергии растворения одиночного газа в этих позициях; L — величина, слабо зависящая от температуры.

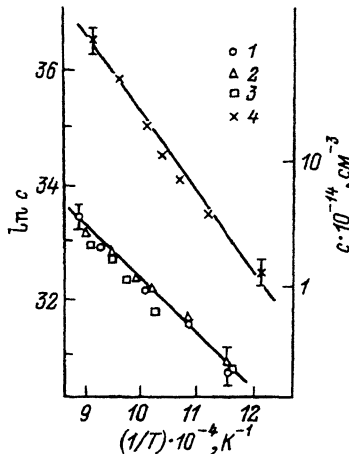


Рис. 1. Температурная зависимость растворимости гелия в кристаллах фторида лития.

1,4 — образец № 1;
2,3 — образцы № 2 и № 3,
1—3 — малые давления насыщения,
4 — высокие давления насыщения.

В случае заполнения одного типа позиций ($i = 1$) при высоких давлениях насыщения P и заданной температуре (T), когда дефекты полностью заполнены атомами газа, величина растворимости равна концентрации дефектов $c = c^*$.

При малых давлениях насыщения (заполнение дефектов атомами газа мало) исследование температурной зависимости растворимости гелия в кристалле при постоянном давлении насыщения позволяет определить энергию растворения газа, которая в условиях пренебрежимо малых деформаций решетки кристалла равна энергии взаимодействия гелия с решеткой [5].

Исследование температурной зависимости растворимости гелия в дефектах в условиях их насыщения гелием P_h дает возможность определить температурную зависимость их концентрации $c(T, P_h) = c^*(T)$ и рассчитать соответствующие характеристики насыщающихся дефектов.

В исследованиях использовали три типа монокристаллов LiF, выращенных в различных условиях (в вакууме — образец № 1, на воздухе — образцы № 2, 3). Концентрация примесей иновалентных металлов в образце № 1 не превышала $3 \cdot 10^{-3}\%$, в образцах № 2, 3 — $5 \cdot 10^{-4}\%$.

Плотность дислокаций кристаллов $(2 \div 6) \cdot 10^{15} \text{ см}^{-2}$. Установка и методика измерений аналогичны используемым в работах [1—4].

Данные исследований температурной зависимости растворимости гелия в монокристаллах LiF приведены на рис. 1. Несмотря на разброс в плотности дислокаций до трех раз даже для одного типа монокристаллов и почти на порядок в содержании примесей иновалентных металлов и кислорода, результаты измерений в пределах погрешностей совпали для всех типов образцов.

Температурная зависимость растворимости гелия во фториде лития при малых ($P = 10^5 \text{ Па}$) давлениях насыщения (рис. 1, образец № 1) описывается простой экспоненциальной зависимостью

$$c = (1.12_{-0.33}^{+0.38}) \cdot 10^{19} \exp \left\{ -\frac{(0.81 \pm 0.05) \text{эВ}}{kT} \right\}, \text{ см}^{-3}. \quad (2)$$

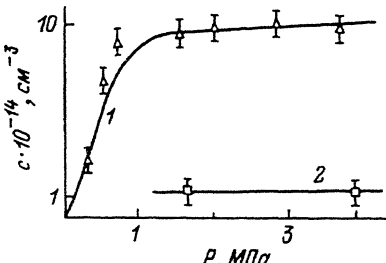


Рис. 2. Изотермы растворимости гелия в кристаллах фторида лития.

$T_{\text{нac}}(\text{K})$: 1 — 973, 2 — 823.

Для выяснения типа насыщенных позиций проводили исследование зависимости растворимости гелия от давления насыщения (рис. 2). Как при высоких, так и при низких температурах зависимость $c(P)$ при повышении давления насыщения выходит на «плато», указывающее на заполнение насыщенных дефектов в соответствии с соотношением (1), $i = 1$.

Температурная зависимость концентраций растворенного гелия в условиях насыщения $c^*(T)$, соответствующая одному типу насыщаемых дефектов (рис. 1, образец № 2), имеет вид

$$c = (1.22_{-0.78}^{+1.98}) \cdot 10^{21} \exp \left\{ -\frac{(1.15 \pm 0.08) \text{эВ}}{kT} \right\}, \text{ см}^{-3}. \quad (3)$$

Отсутствие в пределах погрешностей влияния дислокаций и ионавалентной примеси (O^{2-}) на результаты измерений указывает на то, что насыщаемым типом дефектов могут быть только вакансии, образовавшиеся в результате термического разупорядочения с образованием дефектов Шоттки.

Полученное значение энергии растворения 1.15 ± 0.08 эВ в пределах приведенной погрешности совпадает с данными обзора работ [5], в котором половина энергии образования дефектов Шоттки ($1/2 \cdot E_{\text{ш}}$) составляет -1.17 эВ. (Значения предэкспоненциального множителя соотношения (3) и концентрации вакансий, полученных другими методами, нам неизвестны).

При малом заполнении вакансий гелием энергия растворения (2) является величиной эффективной $E_{\text{еф}}^p$ и определяется значением энергии растворения гелия в вакансии E^p и энергией образования дефекта Шоттки $E_{\text{ш}}$

$$E_{\text{еф}}^p = E^p + \frac{1}{2} E_{\text{ш}}. \quad (4)$$

Значения величин из выражений (1) $E_{\text{еф}}^p$ и (3) $1/2 \cdot E_{\text{ш}}$ позволяют получить отрицательное значение энергии растворения гелия $E^p = -0.32$ эВ. С другой стороны, расчет величины энергии взаимодействия гелия в междоузлии и катионной вакансии может быть проведен с использованием потенциалов парного взаимодействия, полученных из экспериментов в газовой фазе [6], для заданных расстояний решетки кристалла LiF и соответствующего положения атома гелия. Потенциал парного взаимодействия системы $\text{He}-\text{F}^-$, восстановленный по данным газовых измерений [6] и междоузельной растворимости [7] в интервале расстояний

Параметр	Эксперимент по растворимости	Эксперимент в газовой фазе [8]	Расчет метода Хартри-Фока [9]
$r_m, \text{нм}$	0.201	0.205, 0.222	0.19
$\epsilon_m, \text{эВ}$	0.074	0.0588, 0.0474	0.065

$r = 0.185 \div 0.268$ нм, имеет вид

$$U = (69.7 \pm 2.8) \exp \left\{ -\frac{r}{(0.0408 \pm 0.007)} \right\} - \frac{(3.30 \pm 0.31) \cdot 10^{-4}}{r^4}, \text{ эВ.} \quad (5)$$

Величина энергии растворения атома гелия в междоузлии и катионной вакансии, рассчитанная по данному соотношению, имеет положительное значение, что указывает на реализующееся в эксперименте растворение гелия в анионных вакансиях.

В приближении недеформируемой решетки [4] энергия растворения E^p полностью определяется взаимодействием атома гелия с ближайшим окружением шести катионов лития, находящихся на расстоянии $a = 0.201$ нм (расстояние между катионами и анионами в решетке LiF), и восьми анионов фтора, находящихся на расстоянии $a\sqrt{2} = 0.282$ нм

$$E^p = 6E(\text{He} - \text{Li}^+) + 8E(\text{He} - \text{F}^-). \quad (6)$$

Используя данные расчета по соотношению (5), для энергии взаимодействия гелия с ионами фтора (6) получили $8E(\text{He} - \text{F}^-) = 0.086$ эВ, а для энергии взаимодействия гелия с ближайшим окружением катионов лития $6E(\text{He} - \text{Li}^+) = -0.45$ эВ. Пренебрежение взаимодействием гелия со следующим окружением ионов фтора и лития, оцениваемое по соотношению (5) и оценкам ион-дипольного взаимодействия пары He-Li⁺, вносит систематическую погрешность, не превышающую 5% от общей энергии E^p .

Значение энергии, приходящейся на пару частиц (He-Li⁺), составляет $\epsilon(\text{He} - \text{Li}^+) = -0.074$ эВ. Указанная величина (по абсолютной величине) в два раза меньше, чем значение энергии взаимодействия гелия с кальцием $\epsilon(\text{He} - \text{Ca}^{++})$ [4], но почти в 30 раз больше максимально возможной энергии ван-дер-ваальсового взаимодействия пары He-Kr (глубина потенциальной ямы в потенциале парного взаимодействия $\epsilon_m = 0.0026$ эВ [6]). Значение энергии взаимодействия, полученное из измерений температурной зависимости растворимости, находится в удовлетворительном согласии с данными газовых измерений [8] и квантовохимических расчетов [9].

В таблице представлены величины рассчитанных и полученных в эксперименте параметров потенциала парного взаимодействия — значения глубины потенциальной ямы $\epsilon_m(r_m)$, ее положения на оси расстояний r_m .

Величины энергий взаимодействия гелия с катионами лития более чем на порядок превышают энергии молекул с ван-дер-ваальсовым взаимодействием, что указывает на химический характер взаимодействия

указанных частиц и находится в соответствии с расчетами методом Хартри-Фока [9], подтверждающим перекрывание атомных орбиталей.

Таким образом, полученные в работе результаты доказывают возможность использования гелия для дефектоскопии кристаллов, содержащих точечные дефекты, и указывают на химический характер взаимодействия гелия с катионами лития, что, по-видимому, и обусловливает его сильный захват кристаллом при деформации в жидким гелием [10].

Список литературы

- [1] Купряжкин А.Я., Куркин А.Ю., Китаев Г.А. // ЖФХ. 1988. Т. 62. № 12. С. 3083-3084.
- [2] Купряжкин А.Я., Куркин А.Ю., Богданов С.Н. и др. // А. с. 1610519 СССР. 1990.
- [3] Куркин А.Ю., Купряжкин А.Я., Королев Н.Е. и др. // Высокочистые вещества. 1990. № 3. С. 184-188.
- [4] Купряжкин А.Я., Куркин А.Ю. // ФТТ. 1990. Т. 32. № 8. С. 2349-3353.
- [5] Чеботин В.Н. Физическая химия твердого тела. М.: Химия, 1982. 320 с.
- [6] Радциг А.А., Смирнов Б.М. Параметры атомов и атомных ионов. Справочник. М.: Энергоатомиздат, 1986. С. 319-329.
- [7] Купряжкин А.Я., Попов Е.В. // ФТТ. 1984. Т. 26. № 1. С. 160-163.
- [8] Mason E.A., Shamp H.W. // J. Ann. Phys. (USA). 1958. V. 4. N 3. P. 233-270.
- [9] Krauss M., Maldonado P., Wahl A.C. // J. Chem. Phys. 1971. V. 54. N 11. P. 4944-4953.
- [10] Клявин О.В., Мамырин Б.А., Хабарин Л.В. и др. // ФТТ. 1982. Т. 24. № 7. С. 1281-1285.

Уральский государственный
технический университет
'
Екатеринбург

Поступило в Редакцию
11 июня 1993 г.